

ラッピング集成材の曲げについて

神戸大学工学部 正員 西村 昭
 神戸大学工学部 学生員 飛田博明
 (株) 神戸製鋼所 正員 山本俊二

1 まえがき 平行線ケーブルの曲げ性状に関する Wyatt^① は、これを 2 次応力の観点からとりあげ解析しているが、この理論に基づき計算した 2 次応力は過大な評価となるようであり、その理論展開にも疑問な点がある。一方 佐賀^② は摩擦を考慮した重ね板ばねについて研究しているが、これはいわゆる板端法的考え方を用いているもので、この考え方を適用して、ラッピングした平行線ケーブルの基礎であるラッピング集成材について考察した。

2. 理論

2.1 局部的に締付けた 2 枚板ばね(Fig.1) P_2, P_1 は局部的締付力 P_t のためにすべりを阻止され固着状態にある。固着条件は

$$x = z \text{ にて } Y_2 = y, \quad \Delta X_2^{ba} = \Delta X_1^{ab} \quad (1)$$

AB 部分の各板の曲げモーメントは固着力を F とすれば

$$M_2 = -P_t(l-x) + P_t(l-x) + tF/2 \quad (2)$$

$$M_1 = -P_t(l-x) + tF/2$$

条件(1)と式(2)より

$$(P_t - P)(lz^2/2 - z^3/6) - tFz^2/4 = P_t(lz^2/2 - z^3/6) - tFz^2/4 \quad (3)$$

$$t[(P_t + P)(2l-z)z]/4EI + Fz^3/3EI = t[P_t(2l-z)]/4EI - Fz^3/3EI \quad (4)$$

式(4)にて両辺の第 1 項が、たわみ角による 第 2 項が軸力 F による x 方向の変位である。式(3)(4)より

$$P_t = P_t/2, \quad F = 3P_t(2l-z)/8t \quad (5)$$

式(5)と BC 部分についての曲げモーメントを考慮すれば $x=l$ でのたわみは

$$EIy = P_t l^3/6 + tF(z^2/4 - zl/2) \quad (6)$$

$\mu P_t \ll F$ になると 斜面にすべりを生じる。この時のすべり荷重 P_s は $P_t/2, \mu P_t/3(2l-z)$ より求まる。たわみは式(6) F の項に摩擦力 μP_t を代入すればよい。途中で荷重方向を変える時には その点を原点として考える。この時初期の段階は固着状態であるから 結局式(6)と同様になる。次に すべり荷重は、すぐに摩擦力が働くまでこれを考えれば $P_t - \mu P_t \approx \mu P_t$ となり 結局 $P_s \approx \mu P_t \cdot z/3(2l-z)$ であり、歟々曲線のすべり荷重の 2 倍になる。たわみは

$$EIy = P_t l^3/6 - 2z\mu P_t (z^2/4 - zl/2) \quad (7)$$

2.2 一様に締付けた 2 枚板ばね(Fig.2) 一様に締付けた場合は全面で接触することになるので、同一曲率法的考え方となり。 M/EI が各板について等しくなる。この時 固着力は固着部分についてのせん断力に等しく、最初に面 σ かかるべる。そのすべり荷重 P_s は

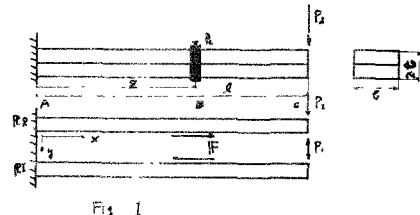


Fig. 1

式(6)より $P_0^2 = 8Nf^2/l^3$ 。ここで f, f_i は単位長あたりの固着力と摩擦力である。この時のたわみは $y = 3P_0^2/l^6 = N^3/16$ である。面0がすべり、面*i-1*まですべりたる状態を考える。(Fig.3)

各板につれての曲げメントは

$$M_{0-i} = (-P_0 + P_i)(l-x) + 2fr(l-x) \quad (8)$$

⋮

$$M_{(i-1)-i} = (-P_{i-1} + P_{i-2})(l-x) + 2fr(l-x)$$

$$M_{(i-1)-i} = (-P_i + P_{i-1})(l-x) + (f + f_i)r(l-x) \quad (9)$$

$$M_{i-N} = (-P_N + P_i)(l-x) + f_i(N-i)r(l-x) \quad (10)$$

$$M_{(i-1)-N} = (-P_N + P_{i-1})(l-x) + f_i(N-i+1)r(l-x) \quad (11)$$

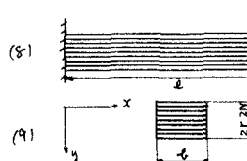


Fig. 2



Fig. 3

式(9) (10)は固着部分 $P_{(i-1),N}$ を $P_{(i-1),i}$ と $P_{(i-1),i}$ とに分けた考え方で式(11)に対応する。式(8)から $M_0 = M_{i-1}$ より

$$P_j = P_0 + j(P_i - P_0) \quad j = 1, 2, \dots, i-1 \quad (12)$$

式(12) 条件式 $y_{i-1-N} = y_{i-N} = y_i$ の各式から、未知数 P_i を P_0 で解く。その結果 $P_i = P_0/2$ を考慮すれば

$$P_i = \frac{P_0 \{i + (N-i+1)^3\}/2 - fr(N-i+1)[1-2(N-i+1)^2]}{(i-1) + (N-i+1)} \quad (13)$$

$$P_i = P_0 + i(P_i - P_0) - (f - f_i)r \quad (14)$$

$$f_i = \frac{1}{r(N-i+1)} \left[\frac{3(N-i+1)(N-i)}{2[(i-1)+(N-i+1)^2]} + \frac{N-(N-i+1)^3+(N-i)^3(N+i-1)f_i}{(i-1)+(N-i+1)^3} \right] \quad (15)$$

次に i は面0まですべりたる状態で次の面 i がすべる状態をあらわす。式(13) (14) (15)よりたわみは

$$y_i = \frac{-l^3}{2EI^3} \left[\frac{-P_0}{2[(i-1)+(N-i+1)^2]} + \frac{(N+i-1)f_i}{(i-1)+(N-i+1)^3} \right] \quad (16)$$

式(16)は、面 i がすべりて 面 i がすべるまでのたわみを表わしている。 $i=N-1$ のとき、全面ですべると全く個々に板が動くと考えた時と y_i の tangent は等しくなる。例えば $N=2$ の場合 2N=4 の場合を考えてみると

その履正曲線(Fig.4)は、負荷では A-B-C-D,

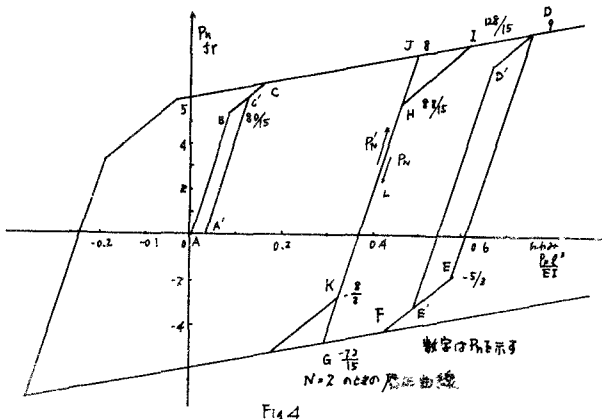
除荷では D-E-F-G となる。この時 D-E

E-F は迎刃曲線の2倍のすべり荷重を示す。J-K の範囲まで除荷して再び、

負荷した時には 固着状態のままであるので 面0 : $i=1$ は 固着力 $f_i = 3P_0/l^6$

$f_i = 9P_0/l^6$ が働いており、次に負荷状態で面0の右へりには

$$\frac{3P_0}{l^6} - \left(\frac{3P_0}{l^6} - f \right) \geq f \quad \therefore P'_0 \geq P_0$$



一方面0のすべりは、 $\frac{9P_0}{l^6} - \left(\frac{9P_0}{l^6} - f \right) \geq f \quad \therefore P'_0 \geq P_0$ 以上より面0、面0まもとの点丁で、一度にすべりを生ずる。B-C'-A'-C-C の場合も同様に説明できる。

3. 実験

2.1 の理論に対する次のような実験を行なつた。(Fig.5)この場合単純支持であることに注意せねばならない。計算に必要な諸元は

$$\begin{aligned} t &= 3.15 \text{ mm} \quad E = 2.1 \times 10^4 \text{ kg/mm}^2 \quad \mu = 0.287 \text{ (測定値)} \\ l &= 200 \text{ mm} \quad I = 45 \text{ mm}^4 \quad Z = l/4 \quad l/2 \quad 3l/4 \quad l \\ P_c &= 50 \quad 100 \quad 150 \quad 200 \text{ kg} \end{aligned}$$

Fig.(6)に $P_c = 150 \text{ kg}$, $Z = l/2$ の場合についての下り込みを, Fig.(7)にそれぞれの場合のすべり荷重を実験値と理論値を共に示す。 $(P_s = P/2)$

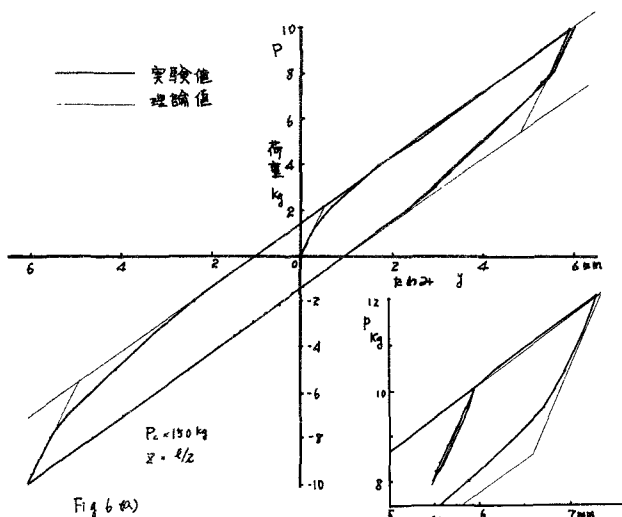


Fig.6(a)

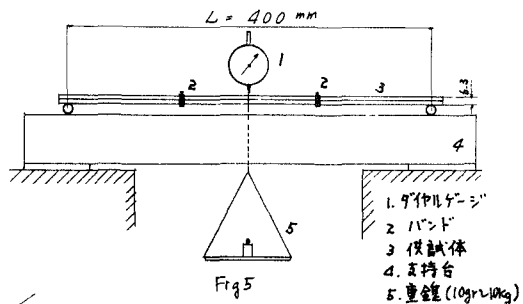


Fig.5

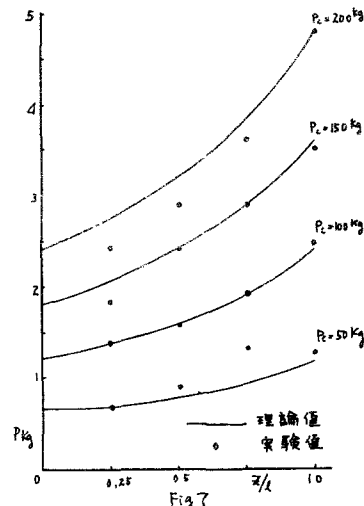


Fig.7

下り込みは 実験値 理論値は非常に良い近似を示している。處女曲線以後は、すべり荷重が Z 倍になることを示しており、tangent が徐々に変化しているのは、バンドの幅の影響である。Fig.(6-b)では固着状態のままで再び負荷すれば、前述の理論と同様に、一度にもとの点ですべりを生じることを示している。Fig.(7)では、理論値は双曲線で区かれている程、固着力が小さくあり、すべり荷重が大になることを示している。また繰り返しに薄い板を挿入して実験を行なつたがその影響は認められず、板端法的考え方の適当であることを示した。

4. もろひ

Wyattの考え方と違つて、ワイヤー全体を取り扱い、板端法的考え方の可能性をかわかつた。この考え方を発展させると、引張力のかかる多層の場合についても適用できる。これについては別途機会に発表する。また 2.2 の理論は従来行なわれたケーブルの曲げ試験の結果をも充分に説明でき、さらに摩擦構造物の一般的な履正曲線にも適用できる。

参考文献

1. T.A.Wyatt, Secondary stresses in parallel wires suspension cables, Trans. A.S.C.E. vol.128, 1963.
2. 佐賀二郎, 重ね板ばねの履正曲線に関する研究, 1961
3. Final Report of the Board of Engineers to the Delaware River Bridge Joint Commission of the States of Penn. and N.J.

1927